

УДК 532.593

ГИПЕРБОЛИЧЕСКАЯ АППРОКСИМАЦИЯ ТРАНСФОРМАЦИИ ВОЛН НА ТЕЧЕНИЯХ ПРИБРЕЖНОЙ ЗОНЫ

Р. И. ДЕМЧЕНКО, М. И. ЖЕЛЕЗНЯК

Институт проблем математических машин и систем НАН Украины, Киев

Получено 12.09.2001 ◊ Пересмотрено 20.02.2002

С помощью метода Ito Y. и Tanimoto K. [7] Copeland'm было показано в [6], что уравнение "пологих склонов" может быть преобразовано в систему двух уравнений первого порядка гиперболического типа, что дает возможность значительно увеличить расчетную область и принять во внимание отраженную волну при моделировании распространения волн в зоне шельфа с портовыми сооружениями. Обобщение метода Ito Y. и Tanimoto K. для уравнения "пологих склонов" с учетом медленно изменяющихся течений, представленное в настоящей работе, приводит к более полной системе уравнений гиперболического типа, включающей систему уравнений [6]. В случае глубокой воды проведено сравнение численного решения полученной системы для высот гармонических волн, распространяющихся по течению и против течения, с аналитическим решением [9]. Кроме того, полученная система уравнений протестирована на экспериментах Thomas'a [16] для постоянной глубины и эксперименте Sakai [18] для переменной глубины. В двумерном случае показаны результаты численного моделирования распространения волн в заливе с выпадающим в него устьем реки.

За допомогою метода Ito Y. і Tanimoto K. [7] Copeland'm було показано в [6], що рівняння "пологих схилів" може бути перетворено на систему двох рівнянь першого порядку гіперболического типу, що дає можливість значно збільшити область розрахунку і взяти до уваги відображену хвилю за умов моделювання портових споруд. Узагальнення метода Ito Y. і Tanimoto K. для рівнянь "пологих схилів" за наявності повільно змінюваних течій, що наведено в цій роботі, призводить до більш повної системи рівнянь гіперболического типу, яка містить систему рівнянь [6]. У випадку глибокої води проведено порівняння чисельного розв'язку одержаної системи для висот гармонічних хвиль, що розповсюджуються за течією та проти течії, з аналітичним розв'язком [9]. Крім того, отримана система рівнянь тестована на експериментах Thomas'a [16] для однорідної глибини та експерименті Sakai [18] для змінної глибини. У двовірному випадку наведені результати чисельного моделювання розповсюдження хвиль у затоці з гирлом річки, що впадає у затоку.

In [6] Copeland expressed by Ito Y. and Tanimoto K. method [7] the "mild-slope" equation in the form of a pair of first-order equations of a hyperbolic type. It resulted in the possibility to enlarge considerably the numerical domain and take into account the reflected wave for modeling wave transport in a shelf zone with sea harbour systems. Ito and Tanimoto method generalization presented in this paper for "mild-slope" equation with slowly variable currents results in more complete system of the hyperbolic type including the system [6]. The comparison of the wave heights in the case of the deep water has been performed for numerical results of the obtained system and analytical result [9] for waves propagating along currents and in opposite direction. The last system has been tested by Thomas experiment [16] for constant depth and by Sakai experiment [18] for ununiform depth. In addition the results of the numerical modeling have been shown for the waves propagating in a bay with river mouth flowing into this bay.

Рефракционно-дифракционная трансформация волн в прибрежной зоне происходит в результате взаимодействия волн с донными неоднородностями и течениями прибрежной зоны. Для моделирования трансформации волн над береговым склоном в последнее десятилетие развито несколько расчетных методик, основанных на численном решении уравнения "пологих склонов" [5], однако моделирование рефракционно-дифракционной трансформации волн на течениях для натуральных условий пока не проводится. Численные эксперименты параболической аппроксимации уравнения "пологих склонов" с учетом медленно изменяющихся во времени течений (известных функций глубины) приведены в работах [1, 2], а также рассмотрены в приближении рефракции в [3]. Сравнение численных расчетов без учета течений с экспериментальными измерениями Дельфт-

ской лаборатории проведено в работе [4] в приближении рефракции, параболической аппроксимации рефракционно-дифракционного приближения, а также полной рефракционно-дифракционной модели.

С помощью метода Ito Y. и Tanimoto K. [7] было показано в [6], что уравнение "пологих склонов" без учета течений может быть преобразовано в систему уравнений первого порядка гиперболического типа, что дает возможность значительно увеличить расчетную область и учесть отраженную волну при моделировании морских портов и других прибрежных сооружений. Преобразование более общего вида для уравнения "пологих склонов" с учетом медленно изменяющихся течений проведено в настоящей работе. (Кратко метод изложен в [10]). Кроме того, в [11] показано сравнение численного расчета для получен-

ной гиперболической системы уравнений первого порядка при отсутствии течений с экспериментальными данными и численным расчетом полного рефракционно-дифракционного приближения [4]. На основе гиперболической системы уравнений [6] проводилось численное моделирование волновых полей в прибрежных зонах и портовых акваториях в [12]. Уравнение, описывающее трансформацию поверхностных волн в условиях плавного изменения глубины и градиентов течения, записывается как

$$\frac{D^2}{Dt^2}\varphi - \nabla \cdot (b\nabla\varphi) + (\omega_r^2 - k^2b)\varphi = 0, \quad (1)$$

где

$$\frac{D}{Dt} = \frac{\partial}{\partial t} + \vec{U} \cdot \nabla.$$

Здесь $\varphi(x, y, t)$ – потенциал скорости; \vec{U} – скорость течения, медленно изменяющаяся по пространственным координатам x, y ; $\partial\vec{U}/\partial t = 0$; $\nabla = (\partial/\partial x, \partial/\partial y)$; ω_r – угловая частота относительно подвижной системы координат, связанной с течением; $k(x, y)$ – волновое число; величина b определена как $b \equiv c_r \cdot c_{gr}$; c_r и c_{gr} – соответственно фазовая и групповая скорости относительно подвижной системы координат, причем

$$\omega_r = c_r \cdot k, \quad (2)$$

$$c_r = \sqrt{\frac{g}{k} \operatorname{th}(k \cdot h)}, \quad c_{gr} = \frac{1}{2} c_r \cdot (1 + G),$$

$$G = \frac{2kh}{\operatorname{sh}(2kh)};$$

h – глубина, характеризующая поверхность дна с пологими уклонами порядка $O(\varepsilon^2)$. Кроме того, градиент течения имеет тот же порядок малости:

$$\nabla U_1, \nabla U_2 = O(\varepsilon^2).$$

Уравнение (1), имеющее гиперболический тип, получено в такой записи с точностью до членов порядка $O(\varepsilon^2)$ в [1]. Уравнение Вои́а, рассмотренное в [2, 3], отличается от (1) дополнительными членами, содержащими множитель $\nabla \cdot \vec{U}$. В том же приближении, что было получено уравнение (1), выражение для возвышения свободной поверхности $\eta(x, y, t)$, которое является функцией потенциала φ и скорости течения \vec{U} , будет иметь следующий вид [11]:

$$\eta = -\frac{1}{g} \left[\frac{\partial\varphi}{\partial t} + U_1 \frac{\partial\varphi}{\partial x} + U_2 \frac{\partial\varphi}{\partial y} \right]. \quad (3)$$

Будем искать решение уравнения (1) в виде монохроматических волн

$$\begin{aligned} \varphi(x, y, t) &= \tilde{\varphi}(x, y) \exp(-i\omega_a t), \\ \eta(x, y, t) &= \tilde{\eta}(x, y) \exp(-i\omega_a t) \end{aligned} \quad (4)$$

с абсолютной угловой частотой

$$\omega_a = \omega_r + \vec{k} \cdot \vec{U}. \quad (5)$$

Для функций вида (4) выполняются следующие соотношения:

$$\varphi_t = -i\omega_a \varphi, \quad \eta_t = -i\omega_a \eta, \quad (6)$$

$$\varphi_{tt} = -\omega_a^2 \varphi, \quad \eta_{tt} = -\omega_a^2 \eta. \quad (7)$$

Тогда уравнение (1) может быть переписано в виде

$$\begin{aligned} \frac{1}{\omega_a^2} [k^2b - \omega_r^2 + \omega_a^2] \frac{\partial^2\varphi}{\partial t^2} - \nabla \cdot (b\nabla\varphi) + \\ + \vec{U} \cdot (\nabla(\vec{U} \cdot \nabla\varphi)) + 2\vec{U} \cdot \nabla \frac{\partial\varphi}{\partial t} = 0. \end{aligned} \quad (8)$$

Представляя потенциал φ и возвышение свободной поверхности η в виде действительной и мнимой части: $\varphi = \varphi_0 + i\varphi_1$, $\eta = \eta_0 + i\eta_1$, введем вектор-функцию потенциала скорости частиц

$$\vec{Q} = \vec{Q}_0 + i\vec{Q}_1, \quad (9)$$

где

$$\vec{Q}_j(x, y, t) = \left\{ Q_j^{(x)}(x, y, t), Q_j^{(y)}(x, y, t) \right\}, j = 0, 1.$$

Кроме того, введем вектор-функцию потока

$$\vec{Q} = -i\vec{Q}. \quad (10)$$

Введение функции \vec{Q} , которая в общем случае не является гармонической, позволяет свести уравнение второго порядка (8), при условии медленного изменения угловой частоты ω_a как функции пространства и времени, к следующим шести уравнениям первого порядка, аппроксимирующими уравнение (8) с точностью до членов порядка $O(\varepsilon^2)$:

$$\frac{\partial\vec{Q}_j}{\partial t} = \left(b\nabla\varphi_j - \vec{U} \left(\vec{U} \cdot \nabla\varphi_j \right) - \vec{U} \frac{\partial\varphi_j}{\partial t} \right) \frac{\omega_a}{g}, \quad (11)$$

$$\nabla \cdot \vec{Q}_j = \left(\frac{1}{\omega_a^2} \left(k^2b - \omega_r^2 + \omega_a^2 \right) \frac{\partial\varphi_j}{\partial t} + \vec{U} \cdot \nabla\varphi_j \right) \frac{\omega_a}{g}, \quad (12)$$

где функции φ_j , $j = 0, 1$ связаны между собой соотношениями (6), (7). Из (3) следует выражение для η_j , $j = 0, 1$:

$$\eta_j = -\frac{1}{g} \left[\frac{\partial \varphi_j}{\partial t} + U_1 \frac{\partial \varphi_j}{\partial x} + U_2 \frac{\partial \varphi_j}{\partial y} \right]. \quad (13)$$

В случае $\vec{U} = 0$ она сводится к следующей системе уравнений:

$$\frac{\partial \vec{Q}_0}{\partial t} = b \nabla \eta_1, \quad \nabla \cdot \vec{Q}_0 = \frac{k^2 b}{\omega_r^2} \frac{\partial \eta_1}{\partial t}, \quad (14)$$

$$\frac{\partial \vec{Q}_1}{\partial t} = -b \nabla \eta_0, \quad \nabla \cdot \vec{Q}_1 = -\frac{k^2 b}{\omega_r^2} \frac{\partial \eta_0}{\partial t}. \quad (15)$$

При этом уравнения (15) совпадают с полученными в [6], где используемая вектор-функция потенциала скорости частиц, предложенная Ito Y. и Tanimoto K. [7], является мнимой частью вектор-функции (9).

Для уравнения (7), когда решение ищется в приближении рефракции поверхностных волн:

$$\varphi = A \exp(i\theta), \quad \theta = \vec{k}\vec{x} - \omega_a t, \quad A = a \frac{g}{\omega_r}, \quad (16)$$

где a – амплитуда волны, выполняется условие сохранения волнового действия:

$$\nabla \cdot (\omega_r A^2 \vec{c}_{ga}) = 0, \quad \vec{c}_{ga} = \vec{c}_{gr} + \vec{U}. \quad (17)$$

Кроме того, можно показать, что для монохроматических волн (16) при условии постоянной глубины вектор-функция, определенная в (10) и равная

$$\vec{Q} = (\vec{c}_{gr} + \vec{U})\eta, \quad (18)$$

является решением системы уравнений (11), (12), причем

$$\vec{Q}_1 = (\vec{c}_{gr} + \vec{U})\eta_0, \quad (19)$$

$$\vec{Q}_0 = -(\vec{c}_{gr} + \vec{U})\eta_1. \quad (20)$$

Принимая во внимание выражения (3) и (16), можно показать, что в случае постоянной глубины возвышение свободной поверхности будет:

$$\eta_0 = -a \sin \theta, \quad \eta_1 = a \cos \theta. \quad (21)$$

Для нахождения вещественной части возвышения свободной поверхности η_0 ($j = 1$) достаточно решить систему (11), (12) для трех уравнений с тремя неизвестными $\vec{Q}_1 = \{Q_1^{(x)}, Q_1^{(y)}\}$, φ_1 , которую удобно переписать в следующем виде:

$$\frac{\partial \vec{Q}_j}{\partial t} = -r_a \vec{U} \cdot \nabla \vec{Q}_j + b \nabla \varphi_j \frac{\omega_a}{g} +$$

$$+ \vec{U} \left(\vec{U} \cdot \nabla \varphi_j \right) \frac{\omega_a}{g} (r_a - 1), \quad (22)$$

$$\frac{\partial \varphi_j}{\partial t} = r_a \left(-\vec{U} \cdot \nabla \varphi_j + \frac{g}{\omega_a} \nabla \cdot \vec{Q}_j \right), \quad (23)$$

$$r_a = \frac{\omega_a^2}{k^2 b - \omega_r^2 + \omega_a^2}, \quad j = 1.$$

Система уравнений (22), (23) (для каждого $j = 0, 1$) имеет t – гиперболический тип (по Фридрихсу) [8]. Значения η_0 находим по формуле (13):

$$\eta_0 = -\frac{1}{g} \left[\omega_a \varphi_1 + U_1 \frac{\partial \varphi_0}{\partial x} + U_2 \frac{\partial \varphi_0}{\partial y} \right], \quad (24)$$

где

$$\varphi_0 = -\frac{1}{\omega_a} \frac{\partial \varphi_1}{\partial t},$$

учитывая условие (6). Причем функции $\frac{\partial \varphi_0}{\partial x}$, $\frac{\partial \varphi_0}{\partial y}$ являются компонентами кинематической скорости частиц жидкости $\vec{u}(x, y, t)$, а полное распределение горизонтальной скорости определяется из соотношения [11]:

$$\vec{u}(x, y, z, t) = \vec{u}(x, y, t) \frac{\text{ch}[k(z+h-\eta_0)]}{\text{ch}(kh)}. \quad (25)$$

Высота волны вычисляется после прохождения каждого последующего периода волны как функция от среднего по периоду значения возвышения свободной поверхности [6]:

$$hw = 2 \cdot (2 \cdot \bar{\eta}^2)^{\frac{1}{2}}. \quad (26)$$

Для численной аппроксимации систему уравнений (22)–(23), ($j = 1$) удобно представить в матричном виде:

$$E \frac{\partial}{\partial t} \vec{W} + A \frac{\partial}{\partial x} \vec{W} + B \frac{\partial}{\partial y} \vec{W} = 0. \quad (27)$$

Здесь E – единичная матрица; вектор \vec{W} имеет вид:

$$\vec{W} = \{Q_1^x, Q_1^y, \varphi_1\},$$

а матрицы A, B состоят из следующих элементов:

$$a_{11} = r_a U_1, \quad a_{12} = 0, \quad a_{13} = \gamma[-b + U_1^2(1 - r_a)],$$

$$a_{21} = r_a U_2, \quad a_{22} = 0, \quad a_{23} = \gamma_{12},$$

$$a_{31} = -r_a/\gamma, \quad a_{32} = 0, \quad a_{33} = a_{11},$$

$$b_{11} = 0, \quad b_{12} = a_{11}, \quad b_{13} = \gamma_{12},$$

$$b_{21} = 0, \quad b_{22} = a_{21}, \quad b_{23} = \gamma[-b + U_2^2(1 - r_a)],$$

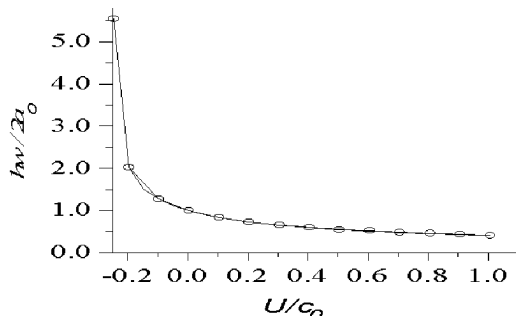


Рис. 1. Сравнение волновых высот при $kh \ll 1$; — согласно [9], -о- согласно (24)-(29)

$$b_{31} = 0, \quad b_{32} = a_{31}, \quad b_{33} = a_{21}, \quad (28)$$

где

$$\gamma_{12} = \gamma U_1 U_2 (1 - r_a), \quad \gamma = \omega_a / g.$$

В одномерном случае в качестве численного эксперимента было рассмотрено изменение высот короткой гармонической волны (распространяющейся вдоль оси x) на однородной глубине ($h = \text{const}$) при условии течения $\{U_1, 0\}$ в направлении движения волны ($U_1 > 0$) и против направления распространения волны ($U_1 < 0$). В последнем случае предполагается $|U_1| < cg$. Для численной реализации эксперимента была использована явная двухшаговая одномерная схема Лейтса [14] второго порядка точности:

$$\vec{W}_i^{k+1} = L_x \vec{W}_i^k,$$

$$L_x = E - \frac{\Delta t}{2\Delta x} A \delta_x + \frac{1}{2} \left(\frac{\Delta t}{\Delta x} \right)^2 A^2 \delta_x^+ \delta_x^-, \quad (29)$$

где $\delta_x, \delta_x^+, \delta_x^-$ — соответственно центрально-разностная и конечно-разностные аппроксимации вперед и назад для первой производной. При этом для устойчивости схемы (29) требуется выполнение условия Куранта $c < \Delta x / \Delta t$.

Для случая глубокой воды на рис. 1 показано сравнение значений (-о-) относительной волновой высоты $hw/2a_0$ как функции от U/c_0 , полученных с помощью конечно-разностной аппроксимации (29) и соотношения (13), ($j=1$) с учетом (25) и аналитического решения, приведенного в [9]:

$$hw/2a_0 = (g/\omega_0) / [c_r(c_r + 2U)]^{1/2}, \quad (30)$$

где

$$c_r = c_0 \cdot 0.5 [1 + (1 + 4U/c_0)^{1/2}], \quad c_0 = g/\omega_0.$$

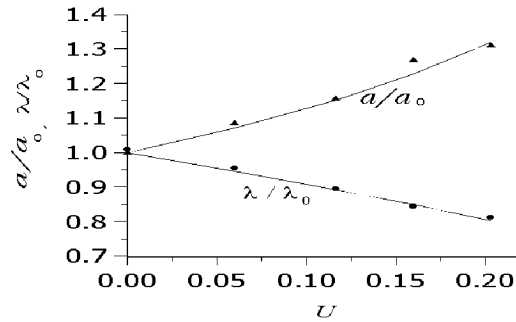


Рис. 2. Изменение относительных высот и относительных длин волн на постоянном по глубине течении. Треугольники и квадратики — экспериментальные данные [15]

Индекс "0" соответствует $U = 0$. Для численной реализации конечно-разностной аппроксимации (28) на входной границе задавалось значение амплитуды, определяемой из закона сохранения волнового действия (17) для случая глубокой воды:

$$hw/2a_0 = ((\omega_r/\omega_0)c_{gr0}/(c_{gr} + U))^{1/2}. \quad (31)$$

Здесь $c_{gr} = c_r/2$; $\omega_r = (g \cdot k)^{1/2}$; $kh \ll 1$, волновое число k определяется из дисперсионного соотношения (5). Как видно из рис. 1, значения относительных волновых высот, построенных по соотношению (30) и полученных для глубокой воды в настоящей работе, численно практически совпадают.

Экспериментальное исследование распространения поверхностных регулярных волн на переменных по глубине течениях проведено в работе [15] на основе эксперимента Томаса [17] для нелинейных волн. В настоящей работе сравнение относительных высот и длин волн на постоянной глубине с экспериментальными исследованиями Томаса [16] для линейного взаимодействия хроматических волн с однородными по глубине течениями показано на рис. 2. Здесь $h = \text{const} = 0.57$ м, $a_0 = 0.00918$ м (при $U = 0$), $\omega_r = 2\pi \cdot 0.8$ Hz. Расчетные значения длин волн определялись из дисперсионных соотношений (2), (5). При этом $\lambda_0 = 2.2452$ м (при $U = 0$). На входной границе задавалось значение амплитуды a , определяемой из закона сохранения волнового действия [3] в случае постоянной глубины. Соответствующие значения волновых высот рассчитывались из соотношений (24), (27)–(29).

Для этих же параметров на рис. 3–5 представлено вертикальное распределение горизонталь-

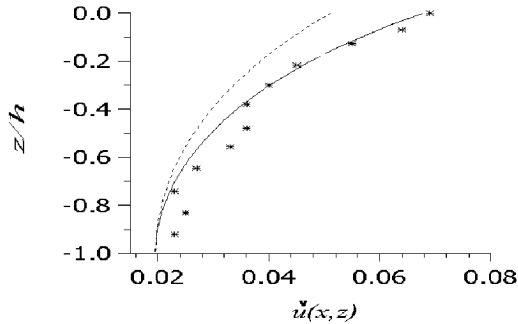


Рис. 3. Вертикальное распределение горизонтальной скорости для случая однородного по глубине течения, направленного в сторону, противоположную распространению волны: $U = -0.1598$ м/с, $-U = 0$, звездочки – экспериментальные данные [15]

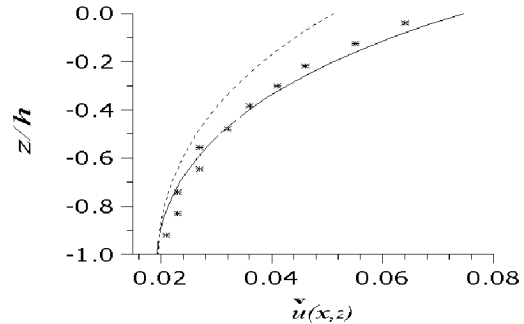


Рис. 5. Вертикальное распределение горизонтальной скорости для случая однородного по глубине течения, направленного в сторону, противоположную распространению волны: $U = -0.203$ м/с, $-U = 0$, звездочки – экспериментальные данные [15]

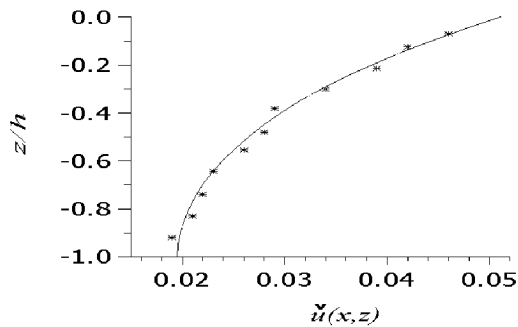


Рис. 4. Распределение по глубине для $U = 0$ горизонтальной скорости частиц жидкости (м/с); Звездочки – экспериментальные данные [15]

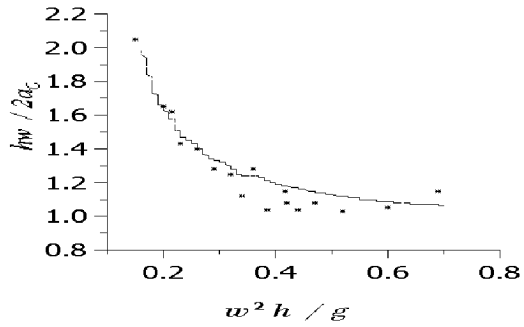


Рис. 6. Сравнение численных результатов моделирования (24)–(29) и лабораторных данных [18]

ной скорости частиц жидкости, моделируемое соотношениями (24)–(29).

В качестве теста на переменной глубине (рис. 6) было проведено сравнение с данными лабораторных измерений Sakai для нелинейного взаимодействия коротких волн и течений, движущихся в противоположных направлениях на уклоне ($s = 1/30$), приведенными в работе [18] для случая необрушения. Ширина и длина волнового лотка составляют 0.36 м и 24 м, удельный расход течения равен 0.0297 м²/с. Начальная глубина и глубина на мелкой воде равны соответственно 0.5 и 0.1 м. Волновой период $T = 1.6$ с.

При выполнении численного эксперимента направление движения волны по уклону предполагалось нормальным, распределение скорости те-

чения определялось из осредненного по глубине уравнения для закона неразрывности жидкости. На рис. 6 показано неплохое соответствие расчетных данных согласно численной аппроксимации (29) и лабораторных данных Sakai, приведенных в [18]. Здесь $\omega = 2\pi/T$.

В двумерном случае изменения глубины был имитирован залив (прибрежный уклон $s=0.01$) с устьем реки, впадающей в этот залив. Батиметрия рассматриваемой области представлена на рис. 6. В численном эксперименте рассмотрено распространение под углом $\theta = 0$ к берегу гармонической волны с периодом $T=7$ с и амплитудой $a_0 = 0.5$ м. Ось x направлена к берегу. Глубина изменяется от 20 м у открытой границы до 0.3 м у берега. Размеры рассматриваемой области составляют 2000 и 1200 м в направлении осей x и

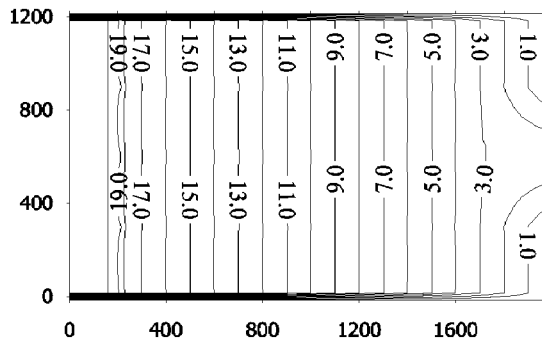


Рис. 7. Батиметрия имитируемого залива

y соответственно. Максимальная глубина постоянна на протяжении 200 м, начиная от плоскости $x = 0$. Устье реки представляет собой канал с параболическим профилем в поперечном сечении и максимальной глубиной, равной 3 м. Ширина канала равна 600 м. Волна предполагается необрушивающейся. Поле течения $\{U_1, U_2\}$, осредненное по вертикали, есть функция координат x, y . Горизонтальные скорости течения для области глубин, приведенной на рис. 7, рассчитывались через функцию тока, аналогично [13]. Максимальная скорость течения достигается у берегов канала и составляет 0.7 м/с. Модуль скорости течения значительно затухает с удалением от берега и на глубине 20 м практически равен нулю. Предполагая, что волновое число есть функция, медленно изменяющаяся во времени, распределение волнового числа и угла волнового вектора определим из дисперсионного уравнения с учетом течений (5) и уравнения

$$\frac{\partial(k \cos \theta)}{\partial y} - \frac{\partial(k \sin \theta)}{\partial x} = 0 \quad (32)$$

неразрывности волнового числа. Уравнения (5), (32) были решены с использованием численной схемы, приведенной в [19].

В точке $x = 0$ возвышение свободной поверхности и функция потока определялись из уравнений (13, $j=1$), (19). На выходной границе было использовано условие абсорбции, а на боковых границах – условие непрерывности. Для численной аппроксимации системы уравнений (28) была использована двухшаговая явная двумерная факторизованная схема Лейтса [14] (при условии выполнения условия Куранта по каждому из направлений x, y):

$$\vec{W}_{ij}^{k+1} = L_y L_x \vec{W}_{ij}^k. \quad (33)$$

Здесь оператор L имеет строение, аналогичное

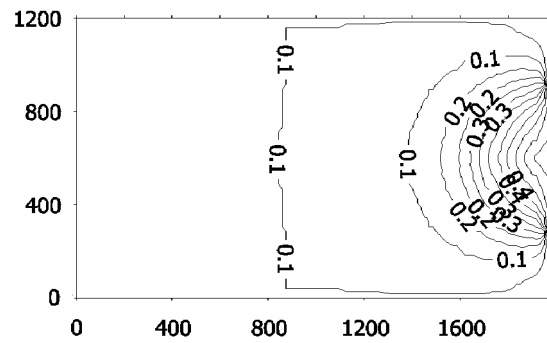


Рис. 8. Поле модуля горизонтальной скорости течения

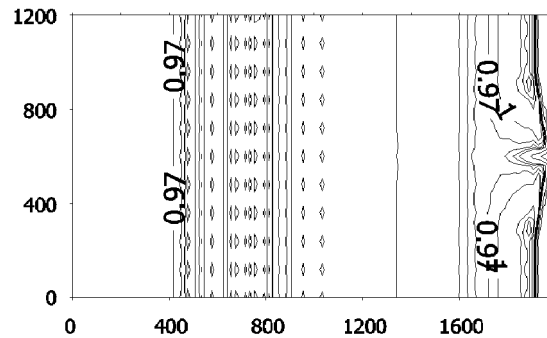


Рис. 9. Относительные высоты волн в заливе (течение отсутствует)

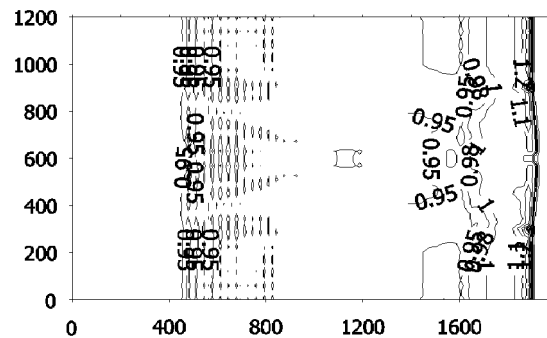


Рис. 10. Относительные высоты волн в заливе (течение не равно нулю)

оператору L в уравнении (29).

На рис. 9 (течение отсутствует) и на рис. 10 представлено для сравнения распределение волновых высот. Во втором случае (течение не равно нулю) волновое число больше в устье реки. Поэтому в этой области длина волны уменьшается, а

высота волны соответственно возрастает. Этот эффект с помощью изолиний показан на рис. 10. Относительные высоты волны осреднены по волновому периоду. Распределение высот на рис. 9, 10 соответствует моменту времени $40 T$.

В заключение отметим, что полученное гиперболическое приближение распространения гармонических волн на течениях в случае пологих склонов позволяет расширить область применения таких задач в прибрежной зоне шельфа, что в свою очередь приводит к поиску новых экспериментальных и натурных исследований полученных результатов.

1. Liu P. Wave-current interaction on a slowly varying topography // J. Geophysical Research. – 1983. – 88, N C7. – С. 4421-4426.
2. Kirby J.T. Higher-order approximation in parabolic equation method for water waves // J. Geophysical Research. – 1986. – 91, N 1. – С. 933-952.
3. Jonson I.J. Booy's current-wave equation and the ray approximation // Progr. Rep. – Inst. Hydrodyn. And Hydraul. Eng. Techn. Univ. Denmark. – 1981. – P. 54.7-20
4. Berkhoff J.C.W., Booy N., Radder A.C. Verification of numerical wave propagation models for simple harmonic linear water waves // Coastal Eng. Amsterdam. – 1982. – 6. – P. 253-279.
5. Berkhoff J.C.W. Mathematical models for simple harmonic linear water waves. Wave diffraction and refraction // Delft Hydraulic Laboratory, Publ. – 1976. – P. 263.
6. Copeland, G.J.M. A practical alternative to the mild-slope wave equation // Coastal Eng. Amsterdam. – 1985. – 9. – P. 125-149.
7. Ito Y., Tanimoto K. A method of numerical analysis of wave propagation-application to wave diffraction and refraction // Proc. Conf. Coastal Eng. 13th, Chapter 26. – 1976. – P. 121-143.
8. Годунов С.К. Уравнения математической физики. – М.: Наука, 1979. – 207 с.
9. Некрасов А.В., Пелиновский Е.Н. Практикум по динамике океана. – Санкт-Петербург: Гидрометеоиздат, 1992. – 320 с.
10. Демченко Р.И., Железняк М.И. Гиперболическая модель рефракционно-дифракционной трансформации волн на течениях прибрежной зоны // Сб. трудов научной конференции "Диагноз состояния экосистемы Черного моря и зоны сопряжения суши и моря". – 1997. – С. 94-96.
11. Демченко Р.И. Моделирование рефракционно-дифракционной трансформации волн на течениях прибрежной зоны с помощью гиперболической аппроксимации уравнения "пологих склонов" // Математические машины и системы. – 1999. – 3. – С. 3-14.
12. Giginyak V., Shepeleva T., Zheleznyak M. Modeling of nearshore transport of radionuclides and sediments under joint action of waves and currents // Intern. Symposium on Marine Pollution, IAEA. – Monaco, 1998. – P. 690-691.
13. Demchenko R., Dzyuba N., Kuzmenko Y., Mezhueva I., Tkalic P., Zheleznyak M. Mathematical modeling of radionuclide dispersion in the water bodies of the Chernobyl NPP zone and in the Dnieper reservoirs // Workshop on Hydrological impact of nuclear power Plants, UNESCO. – Paris, 1993. – P. 173-185.
14. Роуч П. Вычислительная гидродинамика/ Перевод с англ. под ред. П.И. Чушкина. – М.: Мир, 1980. – 616 с.
15. Swan C., Cummins I.P. and James R.L. An experimental study of two-dimensional surface water waves propagating on depth-varying currents. Part 1. Regular waves. // J. Fluid Mech. – 2001. – 428. – P. 273-304.
16. Thomas G.P. Wave - current interactions: an experimental and numerical study. Part 1. Linear waves // J. Fluid Mech. – 1981. – 110. – P. 457-474.
17. Thomas G.P. Wave-current interactions: an experimental and numerical study. Part 2. Nonlinear waves // J. Fluid Mech. – 1990. – 216. – P. 505-536.
18. Yu X., Isobe M., Watanabe A., Jonson I.J. A nonlinear model of monochromatic waves on steady currents over gradually varying bottoms // Coastal Engineering Journal. – 1998. – 40, N 3. – P. 265-290.
19. Chen Y.H., Wang H. Numerical model for nonstationary shallow water wave spectral transformation // J. Geophysical Research. – 1983. – 88, N C14. – P. 9851-9863.